

ПОСТОЯНСТВО ПОЛНЫХ СЕЧЕНИЙ И ПРОЦЕСС  $\pi^- p \rightarrow \eta n$ 

З.Р. Бабаев

Изучение процессов перезарядок и регенераций интересно тем, что из четырехчастичных реакций наиболее чувствительными к модельным предположениям о механизме взаимодействия являются именно эти процессы.

В частности, когда возник вопрос о возможном нарушении теоремы Померанчука в связи с полученными данными о полных сечениях взаимодействия адронов на Серпуховском ускорителе [1], то появился ряд работ [2, 3], где для проверки теоремы Померанчука тщательно анализировались эти процессы. В этих работах источниками информации служат реакции  $\pi^- p \rightarrow \pi^0 n$ ,  $K_L A \rightarrow K_S A$  ( $A$  – вещества) и  $K^- p \rightarrow \bar{K}^0 n$ .

Дополнительным источником информации может служить реакция  $\pi^- p \rightarrow \eta n$ , которая всегда сопутствует реакции  $\pi^- p \rightarrow \pi^0 n$ .

Кроме того, измерение реакции  $\pi^- p \rightarrow \eta n$  может дать ценную информацию о связи этой реакции с реакциями перезарядок  $\pi^- p \rightarrow \pi^0 n$  и  $K^- p \rightarrow \bar{K}^0 n$  в рамках  $SU(3)$ -симметрии, другими словами, о механизме обмена в  $t$ -канале при высоких энергиях.

В данной работе амплитуда процесса  $\pi^- p \rightarrow \eta n$  связывается с амплитудами реакций  $\pi^- p \rightarrow \pi^0 n$  и  $K^- p \rightarrow \bar{K}^0 n$  в рамках  $SU(3)$ -симметрии [4, 5]. В предположении об отсутствии вклада представлений 27, 10 и  $\bar{10}$  в  $t$ -канале и с помощью дисперсионных представлений, восстанавливается реальная часть названной амплитуды. Исследуются возможные следствия постоянства полных сечений упругих процессов для  $\pi^- p \rightarrow \eta n$  реакции. Результаты сравниваются с предсказаниями модели простых полюсов Редже.

Пренебрежение вкладами представлений 27, 10 и  $\bar{10}$  (в которых нет однозоновых состояний) в  $t$ -канальные амплитуды эквивалентно предположению о том, что не учитывается часть вклада в амплитуду от многоузловых обменов, содержащихся в этих представлениях. Относительная малость отброшенных членов подсказывает тем обстоятельством что амплитуды реакции двойных перезарядок, которые подавлены по сравнению с остальными реакциями, в рамках  $SU(3)$ -симметрии определяются именно вкладами этих представлений. Это обстоятельство приводит к простому соотношению между частями амплитуд процессов перезарядок, которые не зависят от спина

$$f_{\eta}^{\text{пер}}(E, 0) = \sqrt{\frac{2}{3}} \left[ \frac{1}{\sqrt{2}} f_{\pi^0}^{\text{пер}}(E, 0) + f_{\bar{K}^0}^{\text{пер}}(E, 0) \right], \quad (1)$$

где

$$f_{\eta}^{\text{пер}} \equiv f(\pi^- p \rightarrow \eta n), \quad f_{\pi^0}^{\text{пер}} \equiv f(\pi^- p \rightarrow \pi^0 n) \text{ и } f_{\bar{K}^0}^{\text{пер}} \equiv f(K^- p \rightarrow \bar{K}^0 n).$$

Справедливость (1) можно проверить по существующим экспериментальным данным для всех трех реакций в интервале  $5 - 13 \text{ Гэв}$  [6] и до  $18,2 \text{ Гэв}$  для  $\pi^- p \rightarrow \pi^0 n$  и  $\pi^- p \rightarrow \eta n$  (при этом данные  $K^- p \rightarrow \bar{K}^0 n$  после  $13 \text{ Гэв}$  брались из предсказаний дисперсионных соотношений [3]). В пределах экспериментальных ошибок данные вполне согласуются с (1).

Выберем нормировку амплитуд так, чтобы

$$\frac{d\sigma}{dt} = \frac{1}{16\pi K^2} |f|^2 \quad \text{и} \quad \sigma = \frac{1}{K} \operatorname{Im} f(E, 0). \quad (2)$$

Из (1) получим следующее выражение для дифференциального сечения вперед

$$\left. \frac{d\sigma_\eta(E)}{dt} \right|_{t=0} = \frac{1}{24\pi} (1 + \beta_\eta^2) \left[ \Delta\sigma_{K^-}(E) - \frac{1}{2} \Delta\sigma_\pi(E) \right]^2.$$

Здесь  $\Delta\sigma_{K^-} = \sigma(K^- p) - \sigma(K^- n)$ ,  $\Delta\sigma_\pi = \sigma(\pi^- p) - \sigma(\pi^+ p)$  и  $\beta_\eta$  – отношение вещественной части амплитуды к ее мнимой части,  $\sigma$  – полное сечение,  $K$  – импульс мезона в лабораторной системе. Воспользуясь дисперсионными представлениями для  $f_{\pi^0}^{\text{пер}}$  и  $f_{K^0}^{\text{пер}}$  можем написать

$$\sqrt{\frac{3}{2}} \frac{1}{E} \operatorname{Re} f_\eta^{\text{пер}}(E, 0) = G_\eta - \frac{a_\eta}{E^2} + \frac{2EK}{\pi} \int_{3 \text{ Гэв}}^{\infty} \frac{\left[ \Delta\sigma_{K^-}(E') - \frac{1}{2} \Delta\sigma_\pi(E') \right] dE'}{K' [E'^2 - E^2]} \quad (4)$$

В (4) приняты следующие обозначения:  $G_\eta = G_{\bar{K}^0} - \frac{1}{2} G_{\pi^0}$ ,

$a_\eta = \frac{1}{\sqrt{2}} (a_{\pi^0} - a_{\bar{K}^0})$  и  $G_i$  и  $a_i$  – константы вычитания и значение интеграла от минимального импульса до  $3 \text{ Гэв}$ , соответственно. Значения  $a_i$  оцениваются, а  $G_i$  по сути дела находят из экспериментов при  $6 - 18 \text{ Гэв}$ .

Рассматриваются два варианта подгонки  $\Delta\sigma_i$ . Первая из них простая двухпараметрическая подгонка

$$\Delta\sigma_i = d_i + \frac{b_i}{E}, \quad (5)$$

где  $d_\pi = 1,2 \text{ мбн}$ ,  $b_\pi = 8 \text{ мбн} \cdot \text{Гэв}^2$  и  $d_K = 1 \text{ мбн}$ ,  $b_K = 7 \text{ мбн} \cdot \text{Гэв}^2$ . Вторая параметризация является наилучшей подгонкой для  $\Delta\sigma_i$ , т. е.

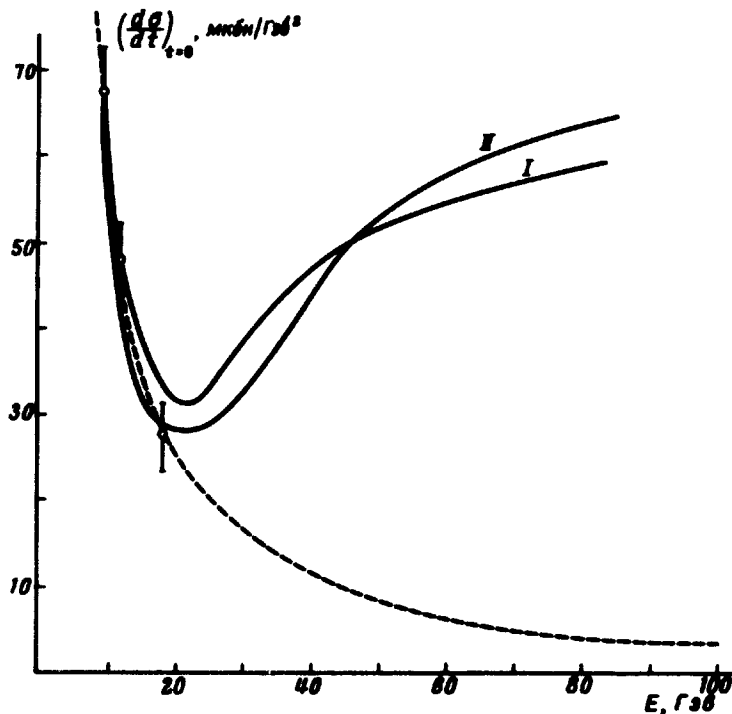
$$\Delta\sigma_\pi(E) = 1,3 + 5,1(E^{-0,61} - 35^{-0,61})$$

для  $\pi$ -мезонов [2] и

$$\Delta\sigma_{K^-}(E) = 1,0 + 3 \exp(-0,17E) \quad (6)$$

для  $K$ -мезонов [3].

Восстанавливая вещественную часть  $f_\eta^{\text{пер}}$ , по (4) мы можем вычислить дифференциальное сечение процесса вперед и  $\beta_\eta$ . Отметим, что результаты вычислений чувствительны к изменениям в  $\beta_{\pi^0}$  и  $\beta_{\bar{K}^0}$ . Величину  $\beta_\eta$  можно считать достаточно надежной, поскольку существуют экспериментальные измерения при средних энергиях. Из существующих экспериментов трудно определить надежное значение  $\beta_{\bar{K}^0}$ . Поэтому для обеих подгонок при  $E = 10 \text{ Гэв}$  брались усредненные  $\beta_{\bar{K}^0}$  из [3].



Дифференциальное сечение процесса  $\pi^- p \rightarrow \eta p$  с учетом постоянства полных сечений и в модели простых полюсов Редже (пунктирная линия)

Полученные результаты показывают, что если полные сечения при существующих энергиях действительно остаются разными, то эффект роста сечений для реакции  $\pi^- p \rightarrow \eta p$  в рамках рассмотренной модели довольно значителен.

Модель полюсов Редже дает сильное убывание для сечения этого процесса.

Отметим, что измерение дифференциального сечения этого процесса может дать информацию о величине дифференциального сечения еще одной перезарядки  $K$ -мезонов. В рамках рассмотренной связи

$$\frac{d\sigma}{dt} (K^- p \rightarrow \bar{K}^0 n) + \frac{d\sigma}{dt} (K^+ n \rightarrow K^0 n) = \frac{d\sigma}{dt} (\pi^- p \rightarrow \pi^0 n) + 3 \frac{d\sigma}{dt} (\pi^- p \rightarrow \eta p). \quad (7)$$

В заключении хочу выразить искреннюю благодарность Л.Д.Соловьеву, В.С.Замиралову и А.Г.Шелкачеву за внимание к этой работе и полезные обсуждения.

Поступила в редакцию  
20 сентября 1971 г.

### Литература

- [ 1 ] J.V.Allaby, Yu.B.Bushnin, Yu. P. Gorin et all. Phys. Lett., **30B**, 500, 1969.
  - [ 2 ] И.Г.Азнаурян, Л.Д.Соловьев. ЯФ, **12**, 638, 1970; И.Г.Азнаурян, В.М.Кутьин, Л.Д.Соловьев. Препринт ИФВЭ СТФ 70-64.
  - [ 3 ] З.Р.Бабаев. Письма в ЖЭТФ, **12**, 374, 1970; З.Р.Бабаев, П.И.Маргвелашвили. Письма в ЖЭТФ, **12**, 483, 1970; З.Р.Бабаев. Препринт ИФВЭ СТФ 67-45-К, 1967.
  - [ 4 ] M.Gourdin. Unitary Symmetries North-Holland Publishing Company, Amsterdam, 1967.
  - [ 5 ] V.Barger. Rev. Mod. Phys., **40**, 129, 1968.
  - [ 6 ] I.Mannelli, A.Bigi, R.Carrara et all. Phys. Rev. Lett., **14**, 408, 1965; O.Guisan, J.Kirz, P.Sonderegger et all. Phys. Lett., **18**, 200, 1965; A.V.Stirling, P.Sonderegger, J.Kirz et all. Phys. Rev. Lett., **14**, 763, 1965.
-